

Zeitschrift: IABSE congress report = Rapport du congrès AIPC = IVBH
Kongressbericht

Band: 3 (1948)

Artikel: Couvertures de grande portée sur plan rectangulaire et sur plan
hexagonal

Autor: Fougerolle, J. / Pujade-Renaud, Ch.

DOI: <https://doi.org/10.5169/seals-4039>

Nutzungsbedingungen

Die ETH-Bibliothek ist die Anbieterin der digitalisierten Zeitschriften auf E-Periodica. Sie besitzt keine Urheberrechte an den Zeitschriften und ist nicht verantwortlich für deren Inhalte. Die Rechte liegen in der Regel bei den Herausgebern beziehungsweise den externen Rechteinhabern. Das Veröffentlichen von Bildern in Print- und Online-Publikationen sowie auf Social Media-Kanälen oder Webseiten ist nur mit vorheriger Genehmigung der Rechteinhaber erlaubt. [Mehr erfahren](#)

Conditions d'utilisation

L'ETH Library est le fournisseur des revues numérisées. Elle ne détient aucun droit d'auteur sur les revues et n'est pas responsable de leur contenu. En règle générale, les droits sont détenus par les éditeurs ou les détenteurs de droits externes. La reproduction d'images dans des publications imprimées ou en ligne ainsi que sur des canaux de médias sociaux ou des sites web n'est autorisée qu'avec l'accord préalable des détenteurs des droits. [En savoir plus](#)

Terms of use

The ETH Library is the provider of the digitised journals. It does not own any copyrights to the journals and is not responsible for their content. The rights usually lie with the publishers or the external rights holders. Publishing images in print and online publications, as well as on social media channels or websites, is only permitted with the prior consent of the rights holders. [Find out more](#)

Download PDF: 16.04.2026

ETH-Bibliothek Zürich, E-Periodica, <https://www.e-periodica.ch>

IVc1

Couvertures de grande portée sur plan rectangulaire et sur plan hexagonal

Überdeckungen grosser Spannweite über rechteckigen und sechseckigen Grundriss

Large span coverings on a rectangular or hexagonal plane

J. FOUGEROLLE

Directeur général

de la Société des Entreprises Boussiron, Paris

&

CH. PUJADE-RENAUD

Directeur

de la Société des Entreprises Boussiron, Paris

Couverture de 100 mètres de portée en béton armé pour un hangar d'aviation

Il s'agit de couvrir une cellule de hangar d'une surface en plan de 100 m \times 60 m en franchissant la portée de 100 mètres. La solution décrite ci-après consiste dans l'adoption d'un voile en béton armé à double courbure, appelé « onde ».

En béton armé, le système porteur le plus favorable pour les grandes portées est l'arc. La caractéristique essentielle de l'onde est d'être un voile de couverture de forme particulière, constituant, sur la portée de 100 mètres, un arc dont la section présente une inertie suffisante. L'onde assume donc une double fonction : d'une part, couvrir; d'autre part, fournir un système porteur de raideur convenable sur une distance de 100 mètres entre appuis.

Sur les 60 mètres de profondeur du hangar, la couverture est constituée par six ondes semblables. Ainsi, l'élément de base de cette couverture est une onde de 10 mètres de largeur et de 100 mètres de portée.

Des tirants suspendus à la voûte, et espacés eux aussi de 10 mètres, équilibrent les poussées. On reviendra plus loin sur leurs dispositions.

Les figures 1 et 2 montrent l'ensemble de la couverture.

Onde élémentaire de 100 mètres de portée et 10 mètres de largeur

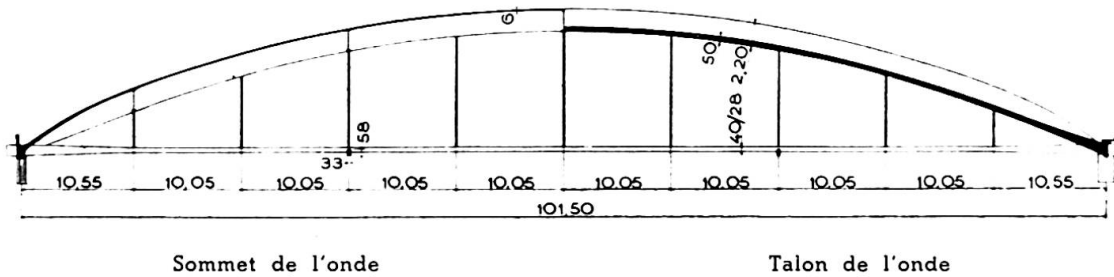


Fig. 1. Demi-coupes dans l'onde.

Dispositions d'ensemble

De façon précise, la portée est de 101^m50. La fibre moyenne de l'arc de cette portée formé par l'onde n'est autre que le polygone funiculaire des charges permanentes. Cette fibre moyenne, lieu des centres de gravité des sections transversales, est très voisine d'un arc de cercle de 114 mètres de rayon. Elle présente une flèche de 12^m10.

La section transversale, pour une largeur constante de 9^m80 est un arc de cercle de 2^m00 de flèche.

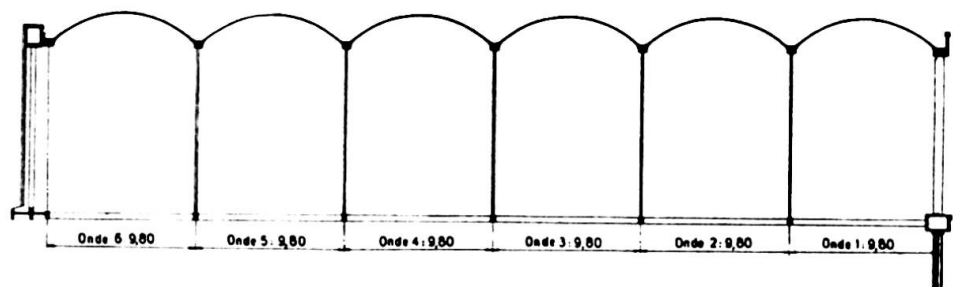
Une section trapézoïdale eût été possible, mais on a jugé préférable d'éviter les angles vifs dans une couverture dont l'étanchéité est demandée au béton. Les moments dans le voile eussent été plus forts, au voisinage des angles, qu'en aucun point de la courbe en fait adoptée. De plus, l'accentuation des pentes eût provoqué des difficultés d'exécution.

L'épaisseur courante du voile est de 0^m06, mais aux naissances de la section transversale est aménagée un important renfort, commun avec l'onde voisine, et qui a été appelé le talon de l'onde. Tous les 10 mètres environ, un voile raidisseur normal à la fibre moyenne, et appelé tympan, assure l'indéformabilité transversale de l'onde.

La forme et la masse du talon ont été déterminées de façon à conférer à la section transversale l'inertie voulue tout en plaçant favorablement le centre de gravité dans la hauteur de cette section, et aussi de façon à contribuer à l'indéformabilité horizontale des naissances entre deux tympons.

Cette section transversale reste identique à elle-même tout le long de l'onde jusqu'à un tympan T situé à une distance de 10^m55 (mesurée horizontalement) de l'appui A. Sur cette distance, le voile est aménagé pour jouer le rôle classique des poutres de retombée comme il est dit plus loin.

Fig. 2.
Coupe
trans-
versale
dans
l'onde.



Au point où le talon d'une onde rencontre la poutre-sablère, s'attache le tirant. A l'une des extrémités du tirant les ronds s'ancrent, extérieurement à la voûte, dans un culot en béton armé et l'intervalle qui sépare celui-ci de la sablière permet de loger des vérins pour la mise en tension (fig. 3). Celle-ci s'effectue sur les ronds d'abord laissés nus, et en deux

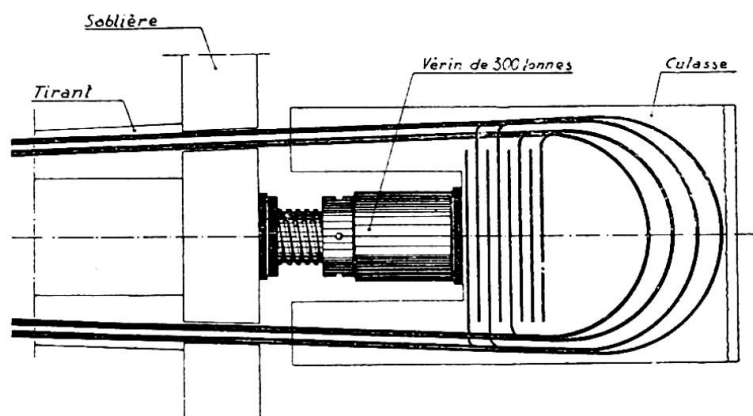


Fig. 3. Culot d'ancrage des tirants.

temps : une première fois, à l'avant de l'échafaudage roulant général qui permet d'exécuter successivement les six ondes, et sous une tension égale à la poussée provoquée par la charge permanente due à la section P_1 (fig. 4); une deuxième fois, à l'arrière de l'échafaudage et sous une tension égale à la poussée due aux charges $P_1 + P_2$. On absorbe ainsi, avant bétonnage du tirant, 90 % de la tension maxima possible sans perturbation dans la voûte et les variations de tension des ronds du tirant une fois bétonné ne dépassent jamais 6 kg/mm^2 .

Toutefois, lors de la deuxième mise en tension, on provoque une déformation corrective en introduisant dans la voûte des moments de signe contraire à ceux que les déformations après clavage viendront ultérieurement créer, comme il est classique à l'occasion d'un décentrement par vérins.

La couverture repose sur les appuis par l'intermédiaire de bielles à articulations sphériques partout où cela est nécessaire pour permettre les libres déformations linéaires de l'ensemble.

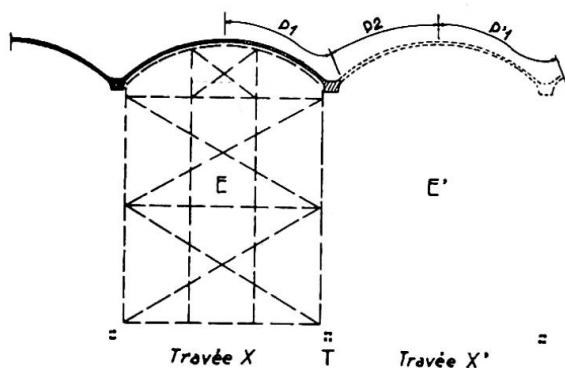


Fig. 4. Tirant T.

1° Mise en tension sous charges P (échafaudage en E).

2° Mise en tension sous charges $P_1 + P_2$ (échafaudage en E'). Bétonnage de T après bétonnage de I_2 et I_1' .

Fonctionnement de l'onde en arc de 100 mètres de portée

L'onde est légitimement assimilée à un arc à deux articulations de 101^m50 de portée et de 12^m10 de flèche. La loi de Navier a été considérée comme valable pour la répartition des actions moléculaires sur une section transversale. Cette hypothèse se justifie, entre autres raisons, par la faible hauteur de cette section par rapport à la portée.

Les moments de flexion dans l'arc sont alors calculés par les méthodes classiques de la résistance des matériaux, sous l'effet :

Du vent (défini suivant les règles du Ministère de l'Air Français, et correspondant à un effort de renversement total de 160 kg/m^2 , somme d'une pression maxima et d'une dépression égales);

De la neige (suivant les mêmes règles : 50 kg/m^2 sans vent, 25 kg/m^2 avec vent);

Des « erreurs de construction » dans la mesure définie par le cahier des charges (hypothèse d'une erreur sur le rayon de courbure d'une pièce quelconque égale au 200^e de la portée);

Du retrait (déformation linéaire de 2×10^{-4} avec un coefficient d'élasticité $E = 1 \times 10^5 \text{ kg/cm}^2$);

Du raccourcissement sous les charges appliquées après décintrement;

De la dilatation (la dilatation d'ensemble de la couverture étant libre, il restait à tenir compte d'une différence de température possible entre la voûte et le tirant; on a pris $\pm 6^e$, avec $E = 3 \times 10^5 \text{ kg/cm}^2$).

La déformation sous charge indéfiniment appliquée ($E = 1 \times 10^5$) a été considérée comme la somme d'une déformation instantanée ($E = 3 \times 10^5$) et d'une déformation retardée ($E = 1,5 \times 10^5$).

L'enveloppe des moments a été tracée dans deux cas; à la mise en service et après plusieurs années. La première de celles-ci est reproduite ci-contre (fig. 5).

En introduisant, lors de la deuxième mise en tension du tirant, une diminution de poussée de $2,5 \text{ t}$, correspondant à une déformation linéaire corrective de $22,4 \text{ mm}$, on égalise sensiblement les moments maxima positif et négatif.

Les éléments caractéristiques de la section de l'arc (section transversale constante sur la majeure partie du développement de l'onde) sont les suivants :

Section = $0,908 \text{ m}^2$;

Moment d'inertie $I = 0,483 \text{ m}^2$;

Module de résistance $\frac{I}{v} = 0,483 \text{ m}^3$ (G est au milieu de la hauteur

de la section);

Moment statique au centre de gravité $G = 0,330 \text{ m}^3$.

Les vérifications de sections ont été faites :

A l'époque des décintrements et mises en tension;

A l'époque de la mise en service du hangar;

Après une période de plusieurs années.

En aucun cas, la fibre supérieure de l'onde ni le talon ne sont tendus.

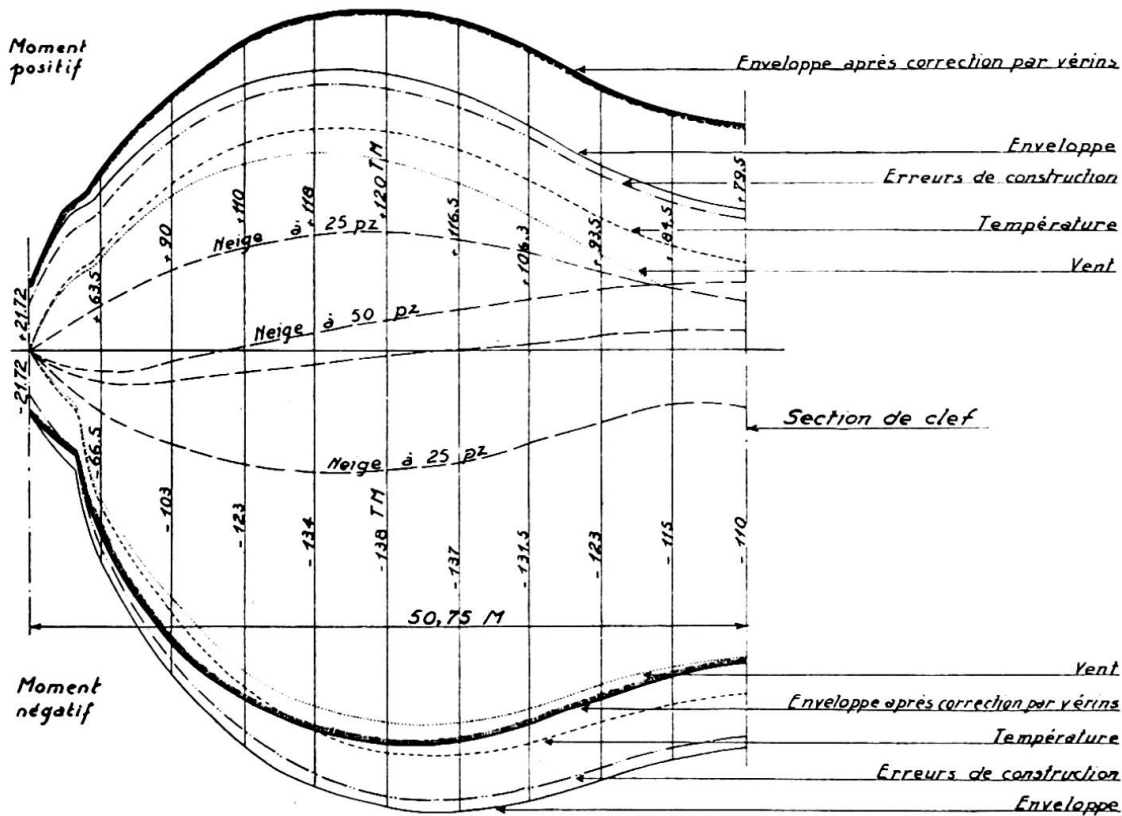


Fig. 5. Enveloppe des moments au moment de la mise en service.

Efforts secondaires

La flexion générale définie ci-dessus conduit à considérer, au centre de gravité G de chaque section, un moment M , un effort normal N et un effort tranchant T , provoqués par les divers efforts extérieurs ou déformations imposées. Seuls sont considérés, ci-après, ces éléments de réduction des forces extérieures, à l'exclusion complète du poids propre et des efforts normaux correspondants déterminés par le funiculaire avec lequel on a fait coïncider la fibre moyenne.

Dans une voûte cylindrique ayant pour directrice la section transversale de l'onde, mais à génératrices rectilignes, et lorsque c'est la flexion d'ensemble du berceau voûté qu'on considère, un anneau compris entre deux sections droites est soumis à des flexions transversales secondaires qu'il est loisible de déterminer en écrivant que les accroissements de cisaillement T relatifs à l'anneau sont en équilibre avec la projection des forces extérieures, appliquées à l'anneau, sur sa section transversale médiane. En situant chacun de ces efforts à sa place et en faisant leur composition, on obtient la résultante en chaque point, ce qui donne tous les éléments de la flexion transversale.

Dans le cas de l'onde à double courbure, à la flexion précédente, se superpose, dans un élément compris entre deux sections normales à la fibre moyenne, un régime complémentaire de flexions secondaires dues à la « poussée au vide » des efforts normaux résultant (fig. 6) : ceux-ci n'intervenaient pas dans le cas de la voûte cylindrique. Ainsi la flexion transversale

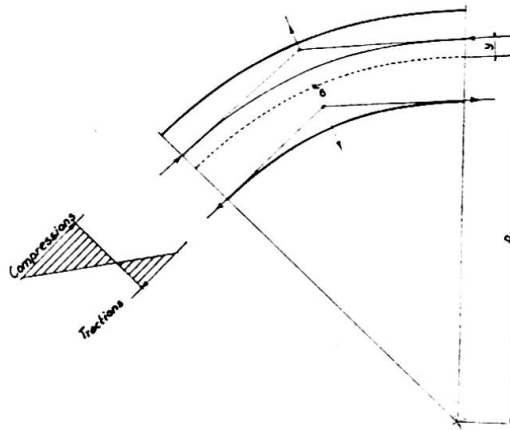


Fig. 6.

a lieu sous l'effet d'un ensemble complexe d'efforts secondaires dérivés de M, N et T.

Les moments totaux qui en résultent dans le voile peuvent être supportés par le hourdis de voûte. Cependant, il a paru plus constructif de conserver les tympans raidisseurs déjà décrits; de ce fait, le mode de résistance aux efforts secondaires est autre et ceux-ci, par un système de cisaillements, sont ramenés aux tympans dans lesquels les efforts s'équilibrent. Les mêmes tympans servent à la répartition uniforme, dans l'ensemble du voile de couverture, des efforts du vent sur le pignon des hangars.

Poutre de retombée

A une certaine distance des retombées de l'onde commence la déviation des efforts normaux, qui doivent se concentrer sur le nœud tirant — sablière — talon de l'onde.

Par analogie avec ce que l'on sait de la distribution des efforts dans un voile plan, chargé dans son plan, il a été admis que cette déviation commençait à partir du tympan T déjà défini.

Entre sablière et tympan T, le profil transversal est celui de la section courante de l'onde mais avec des ordonnées progressivement réduites, jusqu'à la sablière où la flèche s'annule. Les G des sections restent bien entendu placés sur la fibre moyenne. Ainsi se trouve accentuée la courbure de la ligne faitière et diminuée celle des talons; toutefois cette dernière ne change jamais de sens, se confondant avec la tangente à l'intrados dans la dernière section courante.

Les efforts secondaires qui naissent au cours de la déviation des efforts normaux sont pris en compte et un tympan raidisseur supplémentaire est ménagé au milieu de la poutre de retombée.

Onde d'essai

Une onde d'essai au cinquième a été exécutée et chargée jusqu'à rupture.

Pour cette onde réduite, de 20 mètres de longueur et 2 mètres de largeur, le rapport de similitude fut respecté dans toutes les dimensions,

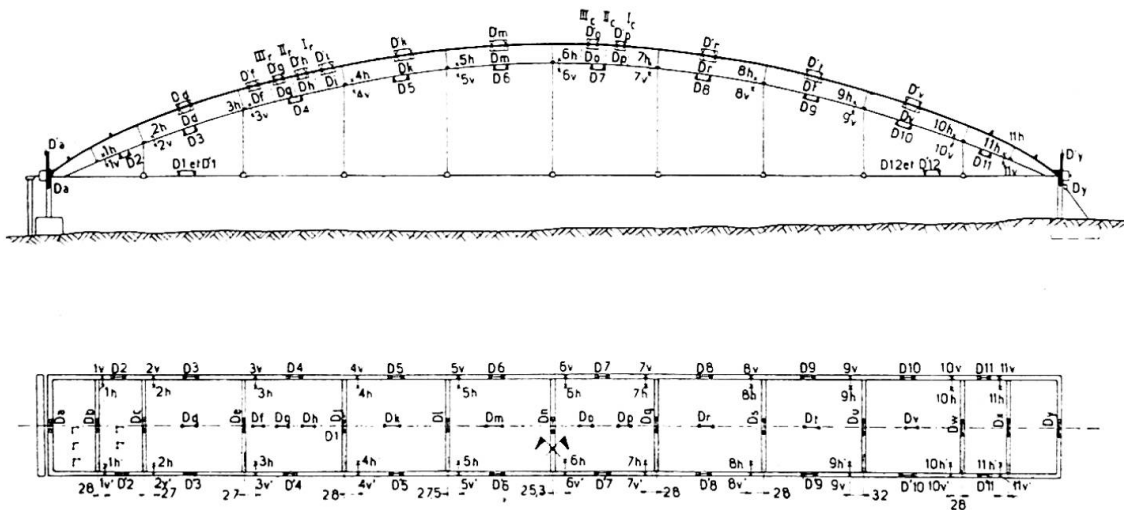


Fig. 7. Figuration schématique des appareils.

- — ◀ — ◊ Base de déformètre.
- ||| Panneaux de mesure des déformations transversales.
- ┌ Cordes vibrantes.
- x X Pointes de mesure des déplacements par comparateur.

dans les sections d'armatures et même dans la grosseur des agrégats. Toutefois, les tirants situés sous chaque demi-talon étaient constitués chacun par un rond de 25 mm en acier mi-dur, équipé avec une lanterne différentielle à vis. L'exécution du voile de 12 mm fut confiée à un personnel choisi. Un hangar abritait l'onde pour que les mesures ne souffrent pas de l'action du soleil ou des intempéries.

Les appareils de mesure comprenaient (fig. 7) :

A. Pour la mesure des déformations locales :

- a) Un déformètre Whittmore-Huggenberger, permettant de mesurer les variations linéaires de 45 bases de 254 mm, à $1/100\ 000^{\circ}$ près;
- b) Une série de 22 cordes vibrantes Coyne de 0,5 mm de diamètre et de 100 mm de longueur, réparties sur une moitié de l'une des poutres de retombée.

B. Pour la mesure des déformations d'ensemble :

- a) Quatre appareils enregistreurs de flèche Richard, trois pour enregistrer les déformations verticales de la clé et des reins de l'un des talons, un pour enregistrer les déplacements de l'une des extrémités de l'onde parallèlement au tirant;
- b) De nombreuses touches scellées dans la voûte, permettant, au moyen de comparateurs, de mesurer des déformations verticales ou horizontales. Des files de touches placées dans le plan transversal situé à mi-distance de deux tympans consécutifs permettaient un repérage de l'allure de la déformation transversale;
- c) Des amplificateurs, établis par l'atelier de l'entreprise, donnaient aussi les déplacements de l'extrémité des tirants du côté de l'appui mobile. On pouvait également vérifier l'immobilité de l'appui fixe;

d) Un clinomètre Huggenberger, permettant de vérifier les variations de pente sur diverses bases analogues à celles du déformètre.

Une étude préalable permet d'établir les rapports entre les diverses grandeurs mécaniques dans l'onde véritable et dans le modèle réduit en fonction du rapport de similitude λ des dimensions linéaires, qui était de 5 pour le modèle réduit.

— Par exemple, pour P surcharge libre sur la voûte réelle par m²
 p surcharge libre sur le modèle par m²
 R fatigue dans la voûte réelle (R_p sous charges permanentes, R_s sous surcharges)
 r fatigue dans le modèle (r_p et r_s)
 Q poussée dans la voûte réelle (Q_p et Q_s)
 q poussée du modèle (q_p et q_s)

et pour des densités de béton Δ et δ respectivement, on a :

$$\frac{Q_p}{q_p} = \lambda^3 \frac{\Delta}{\delta} \quad \frac{R_p}{r_p} = \lambda \frac{\Delta}{\delta}$$

$$\frac{Q_s}{q_s} = \lambda^2 \frac{P}{p} \quad \frac{R_s}{r_s} = \frac{P}{p}$$

Les essais comportèrent, après réglage des tirants :

Des essais sous charges isolées à la clé et aux reins, avec et sans variations de la température extérieure;

Des essais sous surcharges réparties, surcharges complètes ou surcharges dissymétriques transversalement et longitudinalement;

Des essais pour déterminer l'effet des variations de longueur des tirants, avec et sans surcharges.

On revint au zéro à diverses reprises.

Pour finir, on essaya la voûte sous une surcharge équivalant à doubler la charge permanente et à porter la surcharge de neige à 200 kg/m². Mesures faites, et sous charge, on procéda à la démolition de la moitié des tympans. Au cours du déplacement des surcharges alors entrepris, la voûte se rompit au droit d'un des tympans supprimés. On reconnut que cette rupture était surtout imputable à un décalage en hauteur dans le hourdis de l'onde de part et d'autre de ce tympan, ce qui réduisait à moins de 8 mm l'épaisseur utile en ce point.

Jusqu'à cet accident, aucune fissure n'avait été décelée en aucun point.

Les mesures faites confirmèrent les ordres de grandeur trouvés par les méthodes de calcul exposées plus haut, tant pour les fatigues que pour les déformations.

Nous donnons à titre d'exemple le tracé des déformées calculées et mesurées pour une variation de 1 mm de la longueur du tirant, pour la voûte non chargée, et pour la voûte en charge sous poids propre et neige (fig. 8).

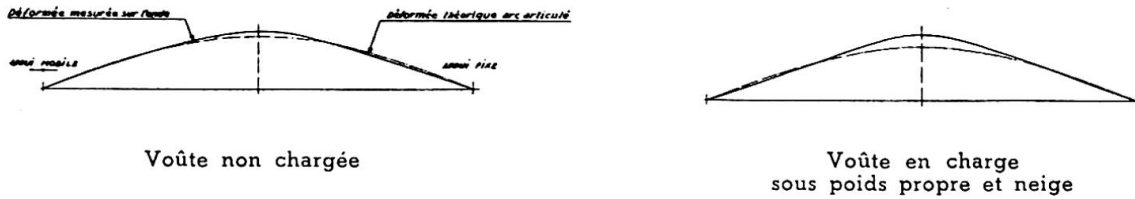


Fig. 8. Déformées comparées pour une variation de longueur du tirant de $\Delta l = 1$ mm.

Aciers pour tirants. Qualité et taux de travail

Au cours des études, les forges françaises acceptèrent d'étudier un acier Martin à caractéristiques élevées. Grâce à des additions de chrome et de manganèse, les Forges purent garantir :

- Une résistance à la rupture supérieure à 90 kg/mm^2 ;
- Une limite élastique Afnor supérieure à 60 kg/mm^2 ;
- Un allongement de rupture supérieur à 6 %.

Ces aciers, réservés aux tirants, peuvent être livrés en couronnes fil machine n° 29 ou 30, soit 9,4 ou 10 mm de diamètre. Elles sont recuites, après passage au laminoir, pour assurer la constance des caractéristiques sur toute leur longueur.

Sur chantier, les couronnes sont déroulées, puis étirées entre 2 et 3 % de la longueur initiale. Le diagramme des déformations montre que l'on confère ainsi aux aciers une limite élastique approchant de 80 kg/mm^2 .

Le taux de travail de ces aciers a été limité aux $\frac{32}{60}$ de la limite élastique sous la charge permanente et la neige, et aux $\frac{36}{60}$ de cette limite sous les mêmes charges augmentées des effets de la température, du retrait et du vent. Par surcroît de sécurité, la limite élastique retenue pour le calcul de ces taux est celle qui s'entend avant étirage.

On a vu que, grâce aux mises en tensions par vérins sous l'effet du poids mort de la voûte, le surcroît de tension appliqué après enrobage, calculé dans les cas les plus défavorables, ne dépasse pas 6 kg/mm^2 . La gaine de béton des tirants est donc placée dans d'excellentes conditions.

Couverture sur plan hexagonal

La surface à couvrir est un hexagone régulier de $82^{\text{m}}15$ de côté, dimension nécessaire pour obtenir le passage fixé pour chacune des baies d'entrée, soit 80 mètres. Les seuls points d'appui sont situés aux sommets de l'hexagone précédent et, au centre de l'ouvrage, aux sommets d'un hexagone intérieur, centré sur le premier, et de 12 mètres de côté. Sur cet hexagone intérieur est bâtie une construction pour magasins et bureaux, surmontée d'un réservoir de $1\,000 \text{ m}^3$.

La hauteur libre sous couverture est, en tous points, de 19 mètres.

Principe de la solution

La nature même du problème orientait les recherches vers des intersections de surfaces cylindriques ou toriques, de façon à trouver, par les voiles eux-mêmes, des éléments pour franchir à la fois les portées de poteau à poteau au-dessus des baies et les portées suivant les rayons de l'hexagone.

La solution retenue est dérivée des systèmes précédents : elle consiste à couvrir chacun des six grands trapèzes principaux par une voûte voisine du conoïde, à portée et flèche variable, voûte à directrices situées dans des plans parallèles aux baies d'entrée.

Ces voûtes recourent une surface axée sur le rayon de l'hexagone, et de nature voisine de l'onde du hangar de 100 mètres, mais d'une largeur variable, qui tombe à zéro au voisinage des points d'appui. Cette surface en forme de fuseau se recoupe avec chacun des conoïdes voisins suivant un arc situé dans un plan, en vertu même des tracés adoptés pour les deux voiles de couverture. Ces arcs plans sont funiculaires des efforts résultants que leur apportent en tous points les deux espèces de voiles.

La poussée résultante des deux arcs appartenant à un même fuseau s'exerce en tête du poteau extérieur, suivant le rayon de l'hexagone, mais on n'a pas disposé de tirant suivant ce rayon. Les poussées, dont la partie principale est la même suivant les six rayons, sont équilibrées par une ceinture située au-dessus des baies d'entrée, suivant le périmètre du hangar.

Les efforts correspondant à la poussée provoquée par une surcharge dissymétrique restent dans la limite de ce que chaque fuseau peut supporter par flexion : une onde de ce genre présente en effet un très important moment d'inertie.

Les dispositions d'ensemble sont représentées sur les figures 9 et 10.

Particularités de la réalisation

Les conoïdes sont constitués par un voile de 0^m06, à tracé de chaînette, nervuré tous les 6^m10. Au-dessus des portes, la nervure de tête a 82^m15 de portée et 12^m10 de flèche. L'arc arrière, à la limite de la tour centrale, a 11^m60 de portée et 3^m60 de flèche.

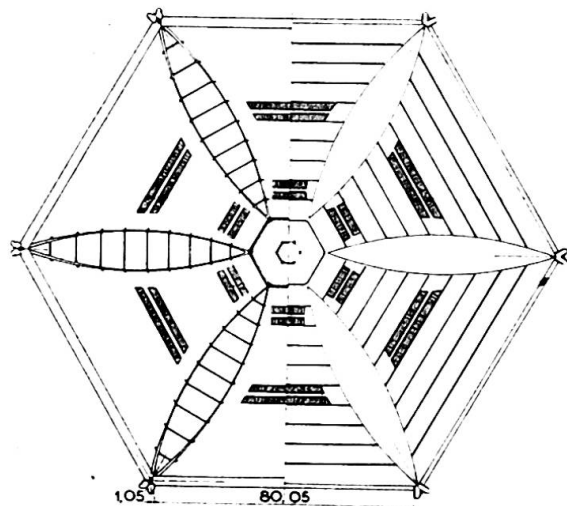


Fig. 9. Demi-vues par-dessous (à gauche) et par-dessus (à droite) de la couverture.

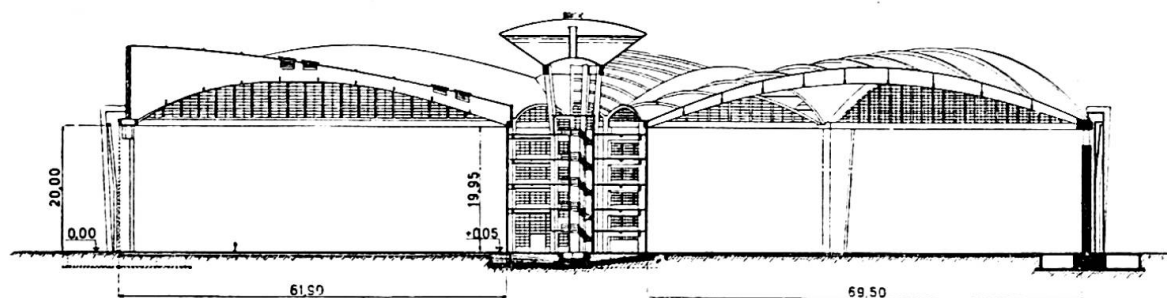


Fig. 10. Demi-coupes dans l'axe des cellules (à gauche) et entre deux cellules (à droite).

En raison de la condition qu'on s'est imposée d'une intersection plane avec le fuseau, il se trouve que la surface du conoïde présente aussi une légère courbure de l'avant vers l'arrière, circonstance favorable à la raideur générale.

Le fuseau a 70^m55 de portée, avec une flèche moyenne de 7^m80 . Il est raidi par des tympans raidisseurs correspondant aux nervures des conoïdes. Ces éléments jouent le même rôle que ceux de l'onde du hangar de 100 mètres. C'est par l'intermédiaire de ces tympans que s'équilibrent certaines des composantes de la poussée des conoïdes situés de part et d'autre d'un même fuseau.

La ceinture générale au-dessus des portes reçoit des dimensions horizontales suffisantes pour former poutre de contreventement au vent. Les aciers ronds de la ceinture extérieure, répartis en deux nappes contenues dans chacune des membrures de la poutre de contreventement, sont mis en tension simultanément dans les six travées, au moyen de vérins écartant les deux nappes. L'effort général de traction atteint 1 560 tonnes. Les aciers employés sont d'une nuance analogue à celle des aciers du hangar de 100 mètres.

Les grandes portes de $80\text{ m} \times 19\text{ m}$ sont du type Wanner basculant et n'apportent pas d'efforts à la poutre de contreventement. Les efforts qu'elles subissent par l'effet du vent sont reportés sur les six poteaux extérieurs, et ceux-ci résistent par encastrement au sol.

La couverture s'appuie sur ces poteaux par l'intermédiaire de balanciers sphériques; les résultantes des efforts du vent qui prennent naissance sur la couverture ne sont donc pas transmises aux poteaux; elles sont ramenées aisément à la tour grâce à la raideur des fuseaux eux-mêmes. C'est la tour centrale qui équilibre l'ensemble des efforts horizontaux transmis par la couverture.

La solution a été entièrement étudiée avec le souci d'une exécution exempte de difficultés exceptionnelles; en particulier l'exécution de l'ensemble de la couverture a lieu au sol, la ceinture extérieure à 1 mètre au-dessus de la plate-forme. Cet ensemble est ensuite relevé au moyen de vérins hydrauliques, suivant un processus lié à l'exécution des poteaux. Le nombre limité des points d'appui et leur grand espacement sont autant de conditions favorables pour une opération de ce genre.

Résumé

On se propose de couvrir en béton armé : soit un hangar composé de cellules rectangulaires de 100 mètres de portée; soit un hangar sur plan hexagonal, l'hexagone régulier ayant 82 mètres de côté environ.

Dans le premier cas, l'élément porteur est une « onde », voile ondulé dont la section transversale est un élément de cercle et présente une inertie suffisante pour que le voile, sur 100 mètres de portée, puisse être calculé comme un arc. Des tympanes pleins assurent l'indéformabilité de la section transversale. Celle-ci, constante sur la majeure partie de la portée de 100 mètres, diminue de hauteur vers les retombées, qui sont disposées de façon à ramener tous les efforts au nœud d'ancrage du tirant. Les tirants sont composés de ronds d'acier spécial d'une limite d'élasticité élevée, qui ne sont enrobés qu'après la mise en tension; leur allongement est repris, avant clavage, par des vérins. Le système se prête encore au franchissement de portées notablement supérieures à 100 mètres.

Dans le second cas, chacun des six triangles équilatéraux formant l'hexagone est couvert par une voûte en béton armé de portée variable. Chacune d'elles recoupe une « onde » de portée transversale variable axée sur chacun des six rayons. On a fait en sorte que les intersections des voûtes et des ondes soient des arcs plans qui ont comme portée la longueur du rayon. Les poussées de ces arcs sont équilibrées par une ceinture générale placée suivant les côtés de l'hexagone; à leurs intersections apparaissent les charges verticales; il n'y a donc que six points d'appui extérieurs.

Zusammenfassung

Aus armiertem Beton werden überdeckt: Eine Halle von 100 m Spannweite aus rechteckigen Zellen und eine sechseckige Halle von je 82 m Seitenlänge.

Im ersten Falle ist das tragende Element eine gewellte Fläche von kreisförmigem Querschnitt mit genügender Steifigkeit für eine Spannweite von 100 m. Es kann wie ein Bogen berechnet werden. Versteifende Binderscheiben sichern die Unverformbarkeit des Querschnittes. Dieser ist konstant über den grössten Teil der 100 m grossen Spannweite, vermindert seine Stärke gegen die Kämpfer, welche so angeordnet sind, dass sie alle Kräfte durch einen Zuganker aufnehmen können. Die Zugbänder bestehen aus Spezialrundeisen von hoher Elastizitätsgrenze, welche erst nach der Vorspannung einbetoniert werden. Ihre Verlängerung wird durch Spannschlösser nachgeregelt. Dieses System eignet sich auch noch für Spannweiten, die weit über 100 m reichen.

Im zweiten Falle ist jedes der gleichseitigen Dreiecke des Sechsecks durch eine gewölbte Fläche aus Eisenbeton von veränderlicher Spannweite überdeckt. Jede derselben schneidet ein quergerichtetes Gewölbe mit veränderlicher Spannweite, deren Axe mit jedem der 6 Strahlen zusammenfällt. Die Konstruktion wurde so ausgeführt, dass die Durchdringung von Gewölbe und gewölbter Fläche ebene Schnittkurven bildet, deren Spannweite gleich der Länge des Radius ist. Der Schub dieser Rippen wird durch einen Hauptgurt an den Sechseckseiten aufgenommen; in den

Schnittpunkten treten vertikale Kräfte auf, was nur 6 äussere Stützpunkte bedingt.

Summary

A reinforced concrete covering is to be provided for : a shed composed of rectangular cells and having a span of 100 m and a shed with equal-sided hexagons of 82 m.

In the former instance the bearing element is a « wave », a corrugated wave whose cross section is part of a circle and has sufficient inertia for the covering, with a span of 100 m, to be calculated as an arc. Solid trusses ensure the cross section from being deformed. The latter, constant for the greater part of the 100 m span, lessens in height towards the transoms which are so arranged as to unite all stresses at the anchorage-point of the tie-bars. The tie-rods are composed of round steel bars of special steel having a high yield point and which are only encased after putting them under tension; their elongation is regulated by hydraulic jacks. This system can be used for spans of considerably over 100 m.

In the latter instance each of the six equilateral triangles forming the hexagon is covered by an arch of reinforced concrete of varying span. Each of them divides a transversal « wave » with a varying span, the axes of which are aligned on the 6 radii. It was so arranged that the intersections of the arches and the « waves » should be plane arches having as a span the length of the radius. The thrusts of these arches are counterbalanced by a main flange placed in line with the sides of the hexagon. At their intersections we find vertical loads. There are therefore only 6 outer supports.

Leere Seite
Blank page
Page vide